

### К ВОПРОСУ ВЗАИМОДЕЙСТВИЯ КОЛЕСА СО СКЛОНОМ

Основные задачи, которые приходится решать в процессе разработки конструкции специальных горных тракторов и агрегатируемых с ними машин, заключаются в том, чтобы приблизить к равнинным тягово-сцепные свойства и курсовое движение колеса на склоне, существенно зависящее от ширины образуемого на сминаемой поверхности последнего следа.

В качестве графической зависимости для описания профиля поперечного сечения протектора по беговой дорожке и впадинам примем квадратную параболу, как наиболее простую и вместе с тем дающую удовлетворительное совпадение с действительным по всей его ширине (расхождение, например, для шин задних колес тракторов "Беларусь" не превышает 1% (рис. 1 и 2 ).

$$y_1 = \frac{4d}{B^2} x^2, \quad (1)$$

где  $d$  и  $B$  – соответственно ордината крайней точки и ширина профиля беговой дорожки протектора.

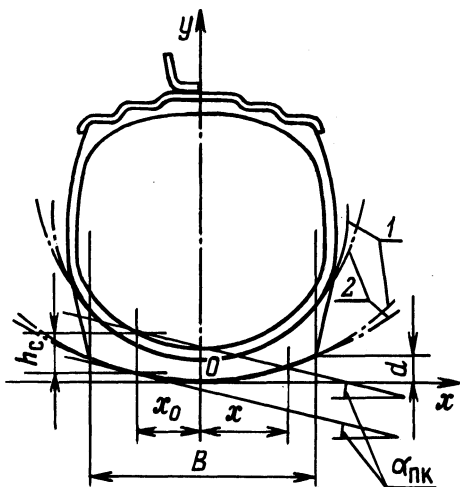


Рис. 1. К описанию профиля поперечного сечения протектора:

1 – окружность; 2 – парабола.

Уравнение профиля поперечного сечения поверхности склона

$$y_2 = - \operatorname{tg} \alpha_{\text{ПК}} X + b'', \quad (2)$$

где  $\alpha_{\text{ПК}}$  – угол склона.

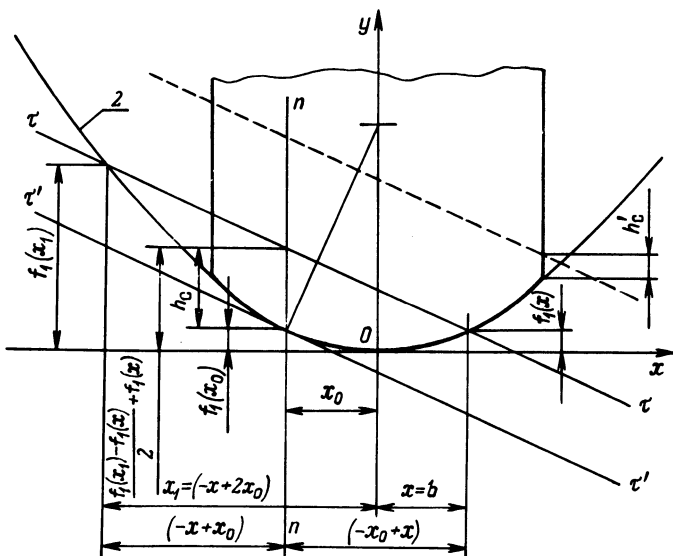


Рис. 2. К определению суммарной деформации шины и грунта:  
 $\tau' - \tau'$  — касательная к параболе в точке соприкосновения шины с поверхностью склона, совпадающая с профилем последнего до деформации;  $\tau - \tau$  — хорда, параллельная касательной, совпадающая с профилем склона по окончании деформации;  $n$  — диаметр параболы.

В момент соприкосновения беговой дорожки с поверхностью склона свободный член

$$b'' = \frac{4d}{B^2} x^2 + \operatorname{tg} \alpha_{\text{ПК}} x_0. \quad (3)$$

Абсциссу точки  $x_0$  соприкосновения рассматриваемых профилей получим, дифференцируя уравнение (1).

$$x_0 = - \frac{B^2 \operatorname{tg} \alpha_{\text{ПК}}}{8d}. \quad (4)$$

Так как оси декартовой системы координат неподвижны относительно колеса, уравнение профиля беговой дорожки протектора без учета деформации останется прежним и после взаимного перемещения колеса и поверхности склона по вертикали в процессе совместной деформации шины и грунта. Уравнение же профиля поверхности склона в новом положении системы координат отличается от уравнения (2) на некоторую величину  $h_c$ , равную максимальной суммарной деформации шины и грунта:

$$h_c = \frac{4d}{B^2} (b - x_0)^2, \quad (5)$$

где  $b$  — абсцисса точки пересечения профилей.

Вычитая (1) из (2) с учетом выражений (3) — (5), получим уравнение для суммарной деформации шины и грунта по ширине следа в рассматриваемом сечении:

$$h_c^x = \frac{4d}{B^2} (b^2 - x^2) + (b-x) \operatorname{tg} \alpha_{\text{ПК}} + h_c^1, \quad (6)$$

где  $h_c^1$  — минимальная суммарная деформация шины и грунта, равная нулю при  $B_\alpha \leq B$ ;  $B_\alpha$  — ширина следа.

Экспериментально установлено, что наклон опорной плоскости увеличивает длину пятна контакта шины [1]. Это свидетельствует о возрастании ее радиальной деформации. Принимая во внимание также зависимость от угла склона ширины пятна контакта, можно предположить существование функциональной зависимости между коэффициентом нормальной жесткости и шириной пятна контакта шины.

Коэффициент нормальной жесткости на основании формулы Хейдекеля

$$C = \pi p_W \sqrt{KBD}, \quad (7)$$

где  $p_W$  — внутришинное давление;  $D$  — свободный диаметр колеса;  $KB$  — произведение, заменяющее в формуле Хейдекеля ширину профиля шины;  $K$  — коэффициент, устанавливающий взаимосвязь между ширинами беговой дорожки протектора (следа) и профиля шины.

Коэффициент нормальной жесткости шины на наклонной плоскости

$$C_\alpha = \pi p_W \sqrt{K_\alpha B_\alpha D_\alpha}, \quad (8)$$

где  $K_\alpha$  и  $D_\alpha$  — коэффициент пропорциональности, аналогичный  $K$ , и свободный диаметр колеса на склоне.

Различие между  $D$  и  $D_\alpha$  не превышает 2–3% [2], что дает основание считать их практически равными. Приняв такое допущение и в отношении коэффициентов  $K$  и  $K_\alpha$  и вычислив отношение  $C/C_\alpha$ , выразим из него

$$C_\alpha = C \sqrt{\frac{B_\alpha}{B}}. \quad (9)$$

Расчленив участок  $ab$  зоны суммарных деформаций шины и грунта на  $n$  равных интервалов, вычислим элементарную результирующую опорных реакций для  $h$ -го сечения в функции радиальной деформации шины  $h_{\text{ш}}^x$  (рис. 3)

$$dY = h_{\text{ш}}^x \frac{C_\alpha}{B} dx. \quad (10)$$

Элементарная результирующая опорных реакций для  $k$ -го сечения в функции, вертикальной деформации грунта  $h_{\text{г}}^x$  по В.В.Гуськову [3]

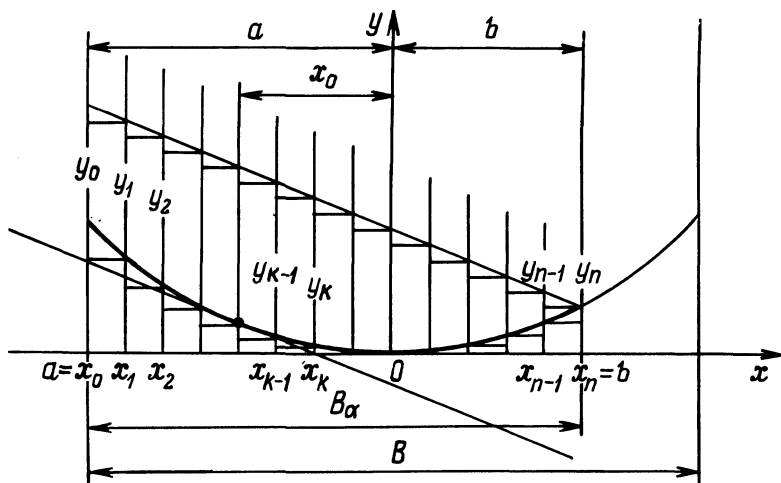


Рис. 3. К определению радиальной деформации шины.

$$dY = k_K h_{\Pi}^X \sqrt{2r_{\Pi}^X h_{\Pi}^X} dx, \quad (11)$$

где  $k_K$  — коэффициент объемного смятия грунта;  $r_{\Pi}^X$  — приведенный к эластичному радиус жесткого колеса в  $k$ -м сечении.

Проинтегрируем выражения (10) и (11) в конечном интервале с учетом (9).

$$Y = \int_a^b \frac{C h_{\Pi}^X}{\sqrt{B_{\alpha} B}} dx; \quad (12)$$

$$Y = \int_a^b k_K h_{\Pi}^X \sqrt{2r_{\Pi}^X h_{\Pi}^X} dx. \quad (13)$$

Очевидно, что с учетом наличия на шине грунтозацепов выражение (13) примет вид

$$Y = k_K \int_a^b [f h_{\Pi}^X \sqrt{2r_{\Pi}^X h_{\Pi}^X} + (1-f) (h_{\Pi}^X - h_3) \sqrt{2(r_{\Pi}^X - h_3) (h_{\Pi}^X - h_3)}] dx, \quad (14)$$

где  $f$  — коэффициент насыщенности пятна контакта грунтозацепами;  $h_3$  — высота грунтозацепа.

Известно, что [3]

$$2r_{\Pi}^X = D \left( 1 + \frac{h_{\Pi}^X}{h_{\Pi}^X} \right). \quad (15)$$

Приравнивая правые части уравнений (10) и (14), убеждаемся в равенстве их подинтегральных функций, из которого, учитывая, что  $h_{II}^x = h_c^x - h_{III}^x$ ,

$$h_{III}^x = \frac{k_K [f\sqrt{D(h_c^x)^3} + (1-f)\sqrt{(D-2h_3)(h_c^x - h_3)^3}] \sqrt{B_\alpha B}}{C + k_K [f\sqrt{Dh_c^x} + (1-f)\sqrt{(D-2h_3)(h_c^x - h_3)}] \sqrt{B_\alpha B}} \quad (16)$$

Если в рассматриваемом сечении  $h_3 \geq h_{II}^x$ , т.е. смятие грунта по вертикали во впадинах отсутствует,

$$h_{III}^x = \frac{fk_K \sqrt{DBB_\alpha} (h_c^x)^3}{C + fk_K \sqrt{DBB_\alpha} h_c^x} \quad (17)$$

Для вычисления верхнего и нижнего пределов определенного интеграла (12) воспользуемся свойством диаметра параболы делить пополам хорду, параллельную касательной, проведенной в конце диаметра (рис. 3). Возможны 3 случая:

$$\begin{aligned} b &= \frac{B_\alpha}{2} + x_0 \quad \text{и} \quad a = -\frac{B_\alpha}{2} + x_0 \quad \text{при} \quad x_0 > -\frac{B}{2} + \frac{B_\alpha}{2}; \\ b &= B_\alpha - \frac{B}{2} \quad \text{и} \quad a = -\frac{B}{2} \quad \text{при} \quad x_0 \leq -\frac{B}{2} + \frac{B_\alpha}{2}; \\ b &= +\frac{B}{2} \quad \text{и} \quad a = -\frac{B}{2} \quad \text{при} \quad B_\alpha = B. \end{aligned}$$

Применить формулу Ньютона—Лейбница для вычисления интеграла (12) не представляется возможным в виду сложности подинтегральной функции, а следовательно, и отыскания ее первообразной, что вынуждает обратиться к методам численного интегрирования на ЭВМ. При этом ширина пятна контакта (следа)  $B_\alpha$  или минимальная суммарная деформация шины и грунта  $h_c^I$ , когда  $B_\alpha = B$ , будет определена непосредственно как функция нагрузки на колесо, нормальной жесткости шины, насыщенности пятна контакта грунтозацепами, коэффициента объемного смятия грунта, конструктивных параметров протектора.

### Литература

1. Я к у б о в и ч А.И. Исследование тягово-сцепных качеств крутосклонного трактора кл. 14 тс со всеми ведущими стабилизируемыми колесами: Автореф. дис. ... канд. техн. наук. — Минск, 1974 — 21 с. 2. Х у х у н и Т.В., Г о г е л и д з е Г.Д., Ш а и ш м е л а ш в и л и Г.И. Некоторые вопросы качения колеса склонохода. — Тбилиси, 1976. — 98 с. 3. Г у с ь к о в В.В. Тракторы: Теория, — Минск, 1977, ч. II. — 384 с.